



Microfiltration tangentielle ($0.1 \mu\text{m}$) de lait écrémé: rôle interactions électrostatiques sur le fractionnement de protéines laitières

Geneviève Gésan-Guiziou, Anne Jimenez-Lopez, Fabienne Lambrouin,
Murielle Rabiller-Baudry

► To cite this version:

Geneviève Gésan-Guiziou, Anne Jimenez-Lopez, Fabienne Lambrouin, Murielle Rabiller-Baudry. Microfiltration tangentielle ($0.1 \mu\text{m}$) de lait écrémé: rôle interactions électrostatiques sur le fractionnement de protéines laitières. Journée scientifique du CFM, Nov 2013, Paris, France. hal-01354025

HAL Id: hal-01354025

<https://hal.science/hal-01354025>

Submitted on 6 Jun 2020

HAL is a multi-disciplinary open access archive for the deposit and dissemination of scientific research documents, whether they are published or not. The documents may come from teaching and research institutions in France or abroad, or from public or private research centers.

L'archive ouverte pluridisciplinaire **HAL**, est destinée au dépôt et à la diffusion de documents scientifiques de niveau recherche, publiés ou non, émanant des établissements d'enseignement et de recherche français ou étrangers, des laboratoires publics ou privés.

Microfiltration tangentielle (0.1 µm) de lait écrémé : rôle interactions électrostatiques sur le fractionnement de protéines laitières

Geneviève Gésan-Guiziou

Anne Jimenez-Lopez

Fabienne Lambrouin-Garnier

Murielle Rabiller-Baudry



INRA Agrocampus Rennes UMR 1253 STLO

“Science et Technologie du Lait et l’Oeuf”
genevieve.gesan-guiziou@rennes.inra.fr

CFM “Journée Fractionnement” 13 nov 2013

Contexte socio-économique

- Filtration membranaire dans l'industrie laitière

- Opérations très largement utilisées : ≈ 40% de la surface membranaire dans les IAA

Concentration des constituants du lait → Fabrication fromagère, standardisation, ...

Fractionnement des constituants du lait → Ingrédients à forte valeur ajoutée



Opérations mal maîtrisées & Performances encore impossibles à prédire

- Variabilité des durées de production et de la qualité des produits transformés

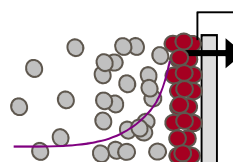
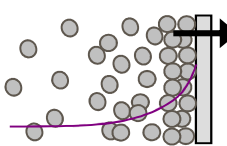
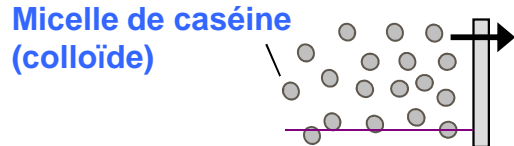
- Difficultés de nettoyage

Forte consommation d'eau (2-6 m³ d'eau / 100 m² de membranes / opérations de nettoyage)
de détergents et d'énergie...

Contexte scientifique

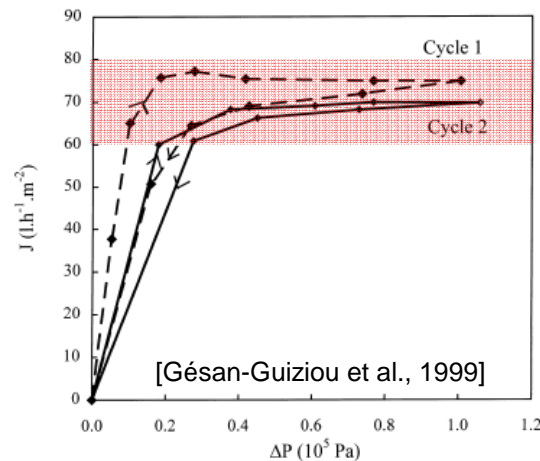
- Micro- et Ultra-filtration (tangentielle) de lait écrémé

- Accumulation de matière à la surface des membranes

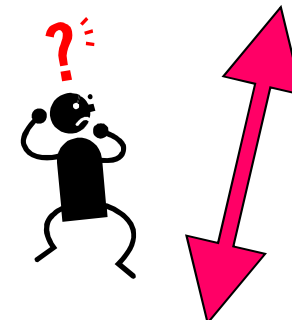


[Gésan-Guiziou et al., JMS, 1999; Jimenez-Lopez et al, SPT, 2008]

- Altération des performances de l'opération



Propriétés / Structure de ces couches concentrées

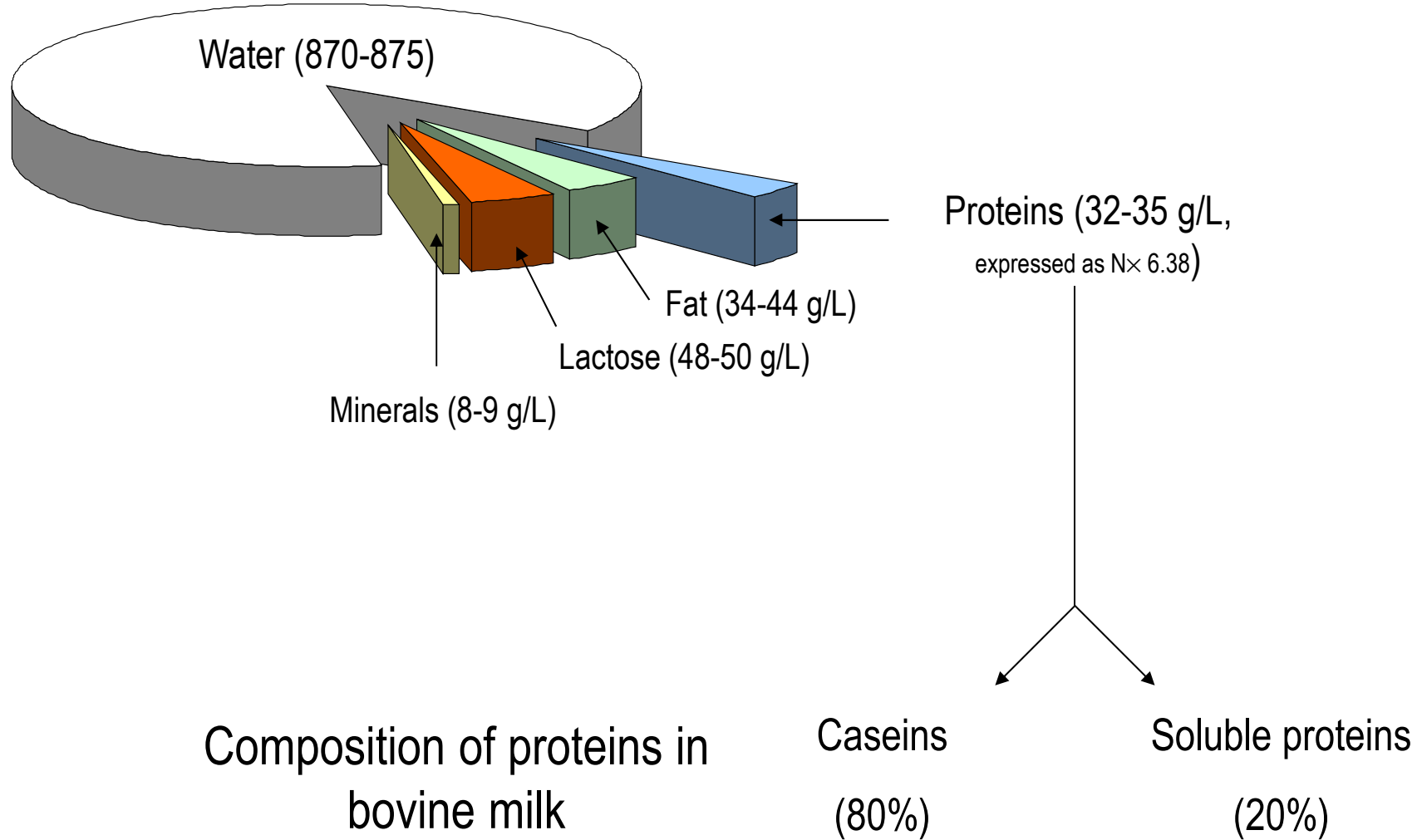


Propriétés de transfert

- Enjeu : Modéliser pour prédire les performances de la filtration

- ➔ Améliorer productivité / qualité des produits
- ➔ Diminuer l'impact environnemental de ces opérations

Composition of milk



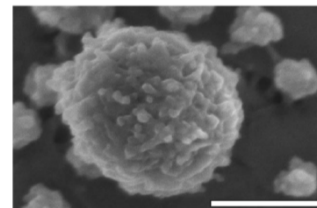
Proteins in bovine milk

Concentration	g/kg	%
Total proteins	33.0	100.0
Total caseins	26.0	79.5
α_{s1} casein	10.0	30.6
α_{s2} casein	2.6	8.0
β casein	9.3	28.4
γ casein	0.8	2.4
κ casein	3.3	10.1
Soluble proteins	6.3	19.3
α -lactalbumin	1.2	3.7
β -lactoglobulin	3.2	9.8
BSA	0.4	1.2
Immunoglobulins	0.7	2.1
Others	0.8	2.4
Proteins of fat membrane globule	0.4	1.2

↑
↓
micelles

Micelle de caséine

~80% des protéines dans le lait, C ≈ 25 g/L



- Composition :

| caséines : α_{s1} , α_{s2} , β , κ (3:1:3:1)

| minéraux : phosphate et calcium

- Objet colloïdal (\approx sphérique) :

grande distribution de taille \sim 50-500nm, taille moyenne \approx 120nm

fortement hydratée voluminosité 4.4 ml/g (3.7g d'eau / g protéines)

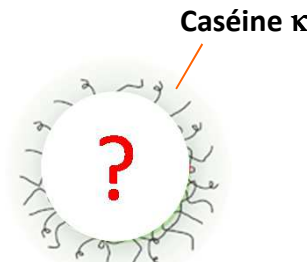
en équilibre dynamique avec la phase solvante

- Structure :

| phosphate de calcium \rightarrow nanoclusters

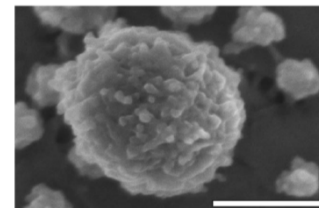
| caséine κ \rightarrow à la périphérie, fortement chargée

La structure interne est encore controversée...



Micelle de caséine

~80% des protéines dans le lait, C ≈ 25 g/L



- Composition :

| caséines : α_{s1} , α_{s2} , β , κ (3:1:3:1)

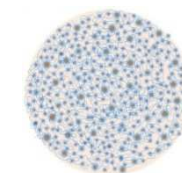
| minéraux : phosphate et calcium

- Objet colloïdal (\approx sphérique) :

grande distribution de taille \sim 50-500nm, taille moyenne \approx 120nm

fortement hydratée voluminosité 4.4 ml/g (3.7g d'eau / g protéines)

en équilibre dynamique avec la phase solvante



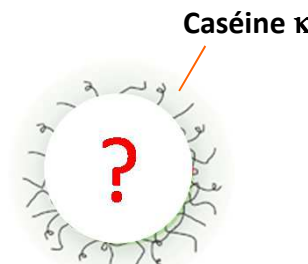
[de Kruif et al., Adv. Colloid Interface Sci., 2012]

- Structure :

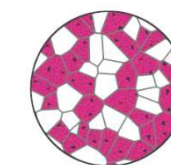
phosphate de calcium → nanoclusters

caséine κ → à la périphérie, fortement chargée

La structure interne est encore controversée...



[Walstra, Int. Dairy. J., 1999]



[Bouchoux et al., Biophys.J., 2010]

**Micelle de caséine = colloïde déformable et poreux
(et polydisperse)**

Proteins in bovine milk

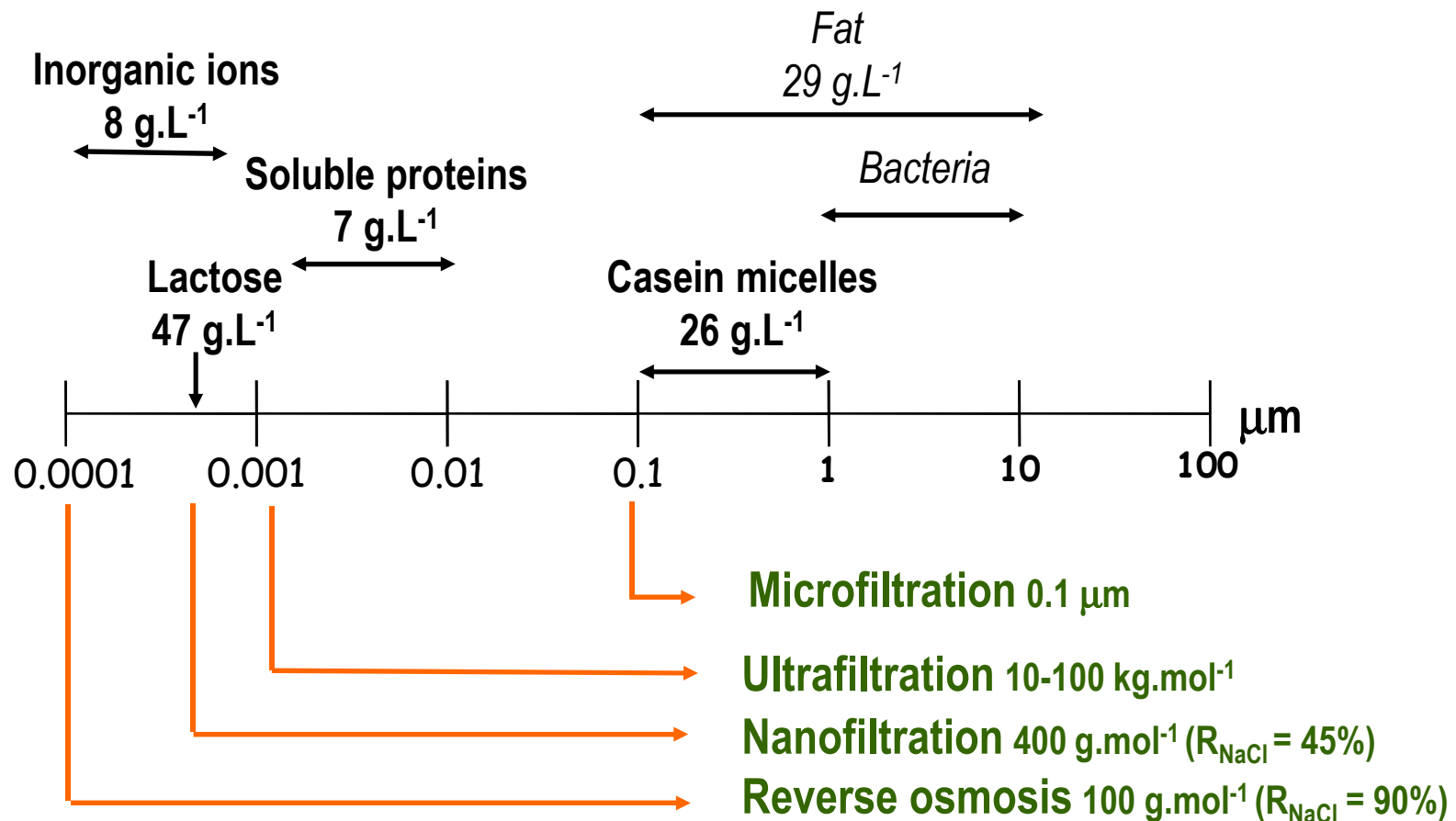
Concentration	g/kg	%
Total proteins	33.0	100.0
Total caseins	26.0	79.5
α_{s1} casein	10.0	30.6
α_{s2} casein	2.6	8.0
β casein	9.3	28.4
γ casein	0.8	2.4
κ casein	3.3	10.1
Soluble proteins	6.3	19.3
α -lactalbumin	1.2	3.7
β -lactoglobulin	3.2	9.8
BSA	0.4	1.2
Immunoglobulins	0.7	2.1
Others	0.8	2.4
Proteins of fat membrane globule	0.4	1.2

Protéines solubles

Protéine	MM (kg mol^{-1})	r_s (nm)	pHi	U_{S0} ($10^{-8} \text{ m}^2 \text{ V}^{-1} \text{ s}^{-1}$)
α -La	14,2	2,0	4,2- 4,5	-2,21 ^{apo} -1,02 ^{holo}
β -Lg	18,2 ^{mono} 36,6 ^{dim}	2,0 ^{mono} 2,7 ^{dim}	5,1- 5,4	-4,72 ^{mono} -7,26 ^{dim}
BSA	67	3,5	4,8- 5,1	-5,26
LF	77 ^{mono} 324 ^{tetra}	2,2 ^{mono} 4,4 ^{tetra*}	8,0- 9,0	1,70
IgG	150-1000	5,5	5,5-8,3	0

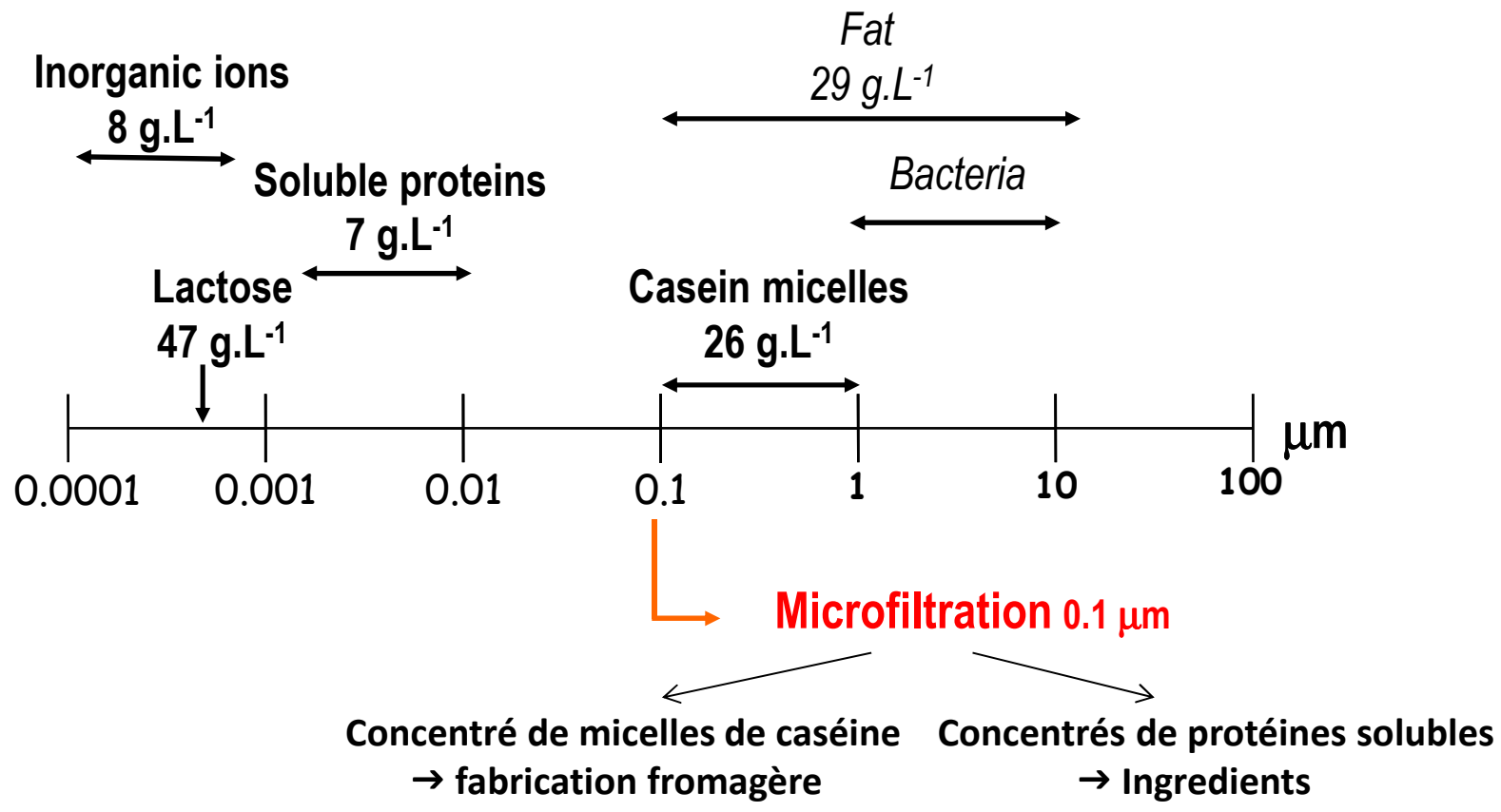
Skimmed milk and crossflow filtration

Milk components

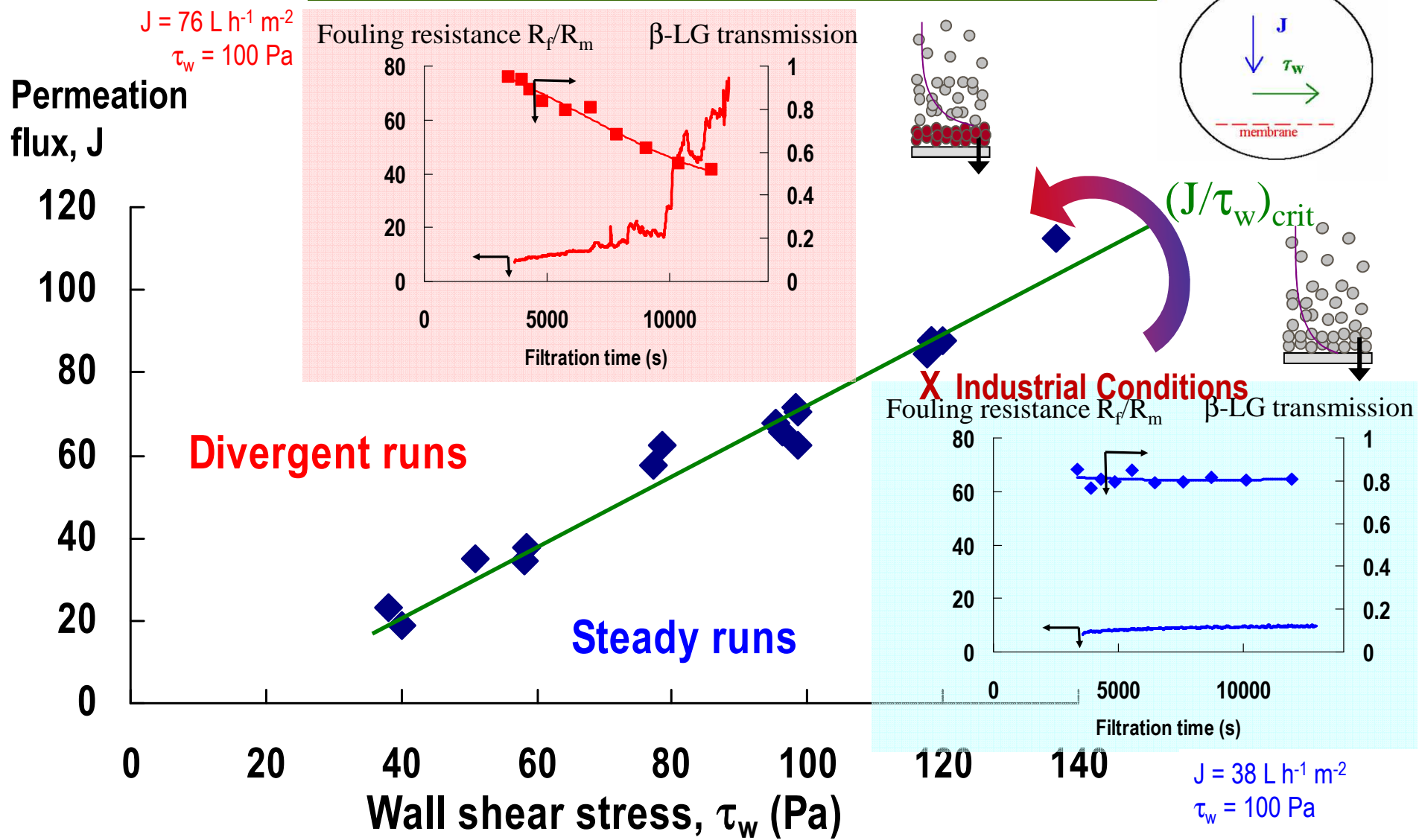


Skimmed milk and crossflow filtration

Milk components



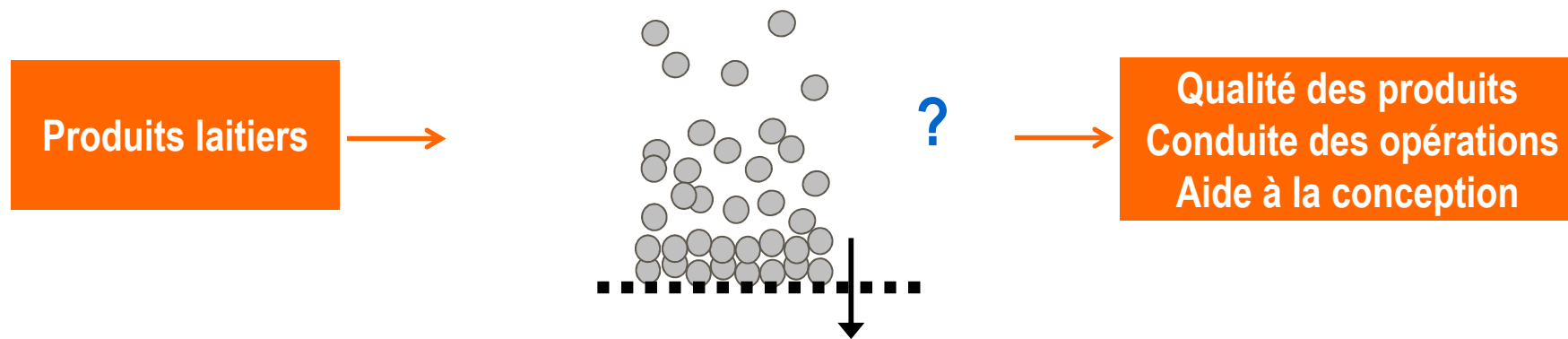
Crossflow microfiltration ($0.1 \mu\text{m}$) of skimmed milk



Objectif

Questions

- Quelles caractéristiques de transfert des couches de micelles ?
- Quels mécanismes responsables de la sélectivité des couches?



Choix de stratégie :

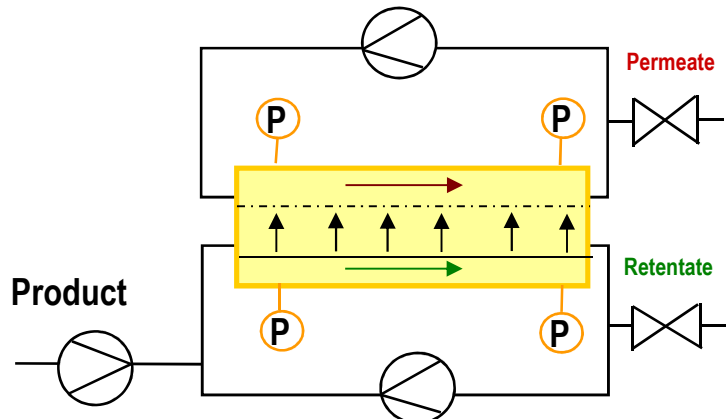
- Fluide d'étude = lait écrémé; disponibilité de concentrés de micelles; microfiltrat
- avant/pendant/après conditions critiques
- protéines solubles = traceurs

Methodology – Microfiltration experiments

Fluids Heat treated skinned milk (68°C; 20s) + NaCl (0-300 mM) with pH adjustment (6.55)
Casein Micelles Suspension (CMS), Powder Ingredia (France)
Microfiltrate (0.1 µm) (**M**): milk without the casein micelles (« ideal » whey)
CMS + M = reconstituted milk

Equipment

Ceramic membrane 0.1 µm Kerasep (Orelis, Novasep, France)
Crossflow-filtration with UTP (« Uniform Transmembrane Pressure ») system



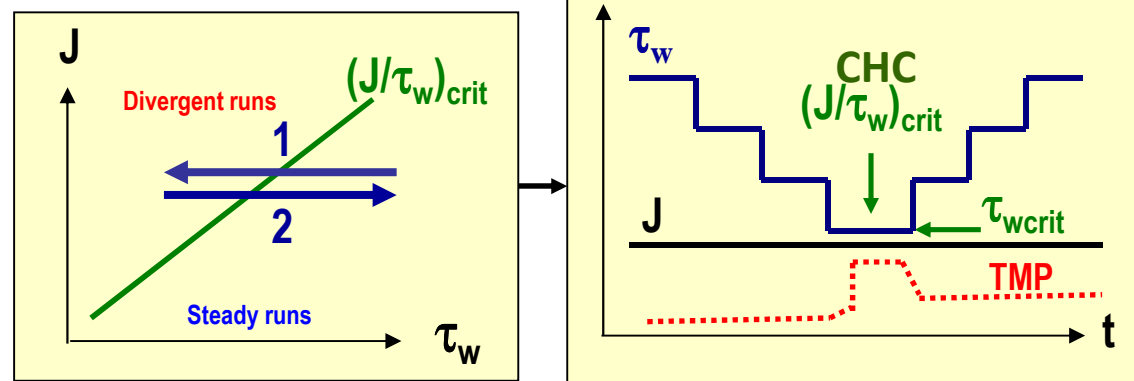
Methodology – Microfiltration experiments

Fluids Heat treated skinned milk (68°C ; 20s) + NaCl (0-300 mM) with pH adjustment (6.55)
Casein Micelles Suspension (CMS), Powder Ingredia (France)
Microfiltrate ($0.1 \mu\text{m}$) (**M**): milk without the casein micelles (« ideal » whey)
CMS + M = reconstituted milk

Equipment

Ceramic membrane $0.1 \mu\text{m}$ Kerasep (Orelis, Novasep, France)
Crossflow-filtration with UTP (« Uniform Transmembrane Pressure ») system

Methodology

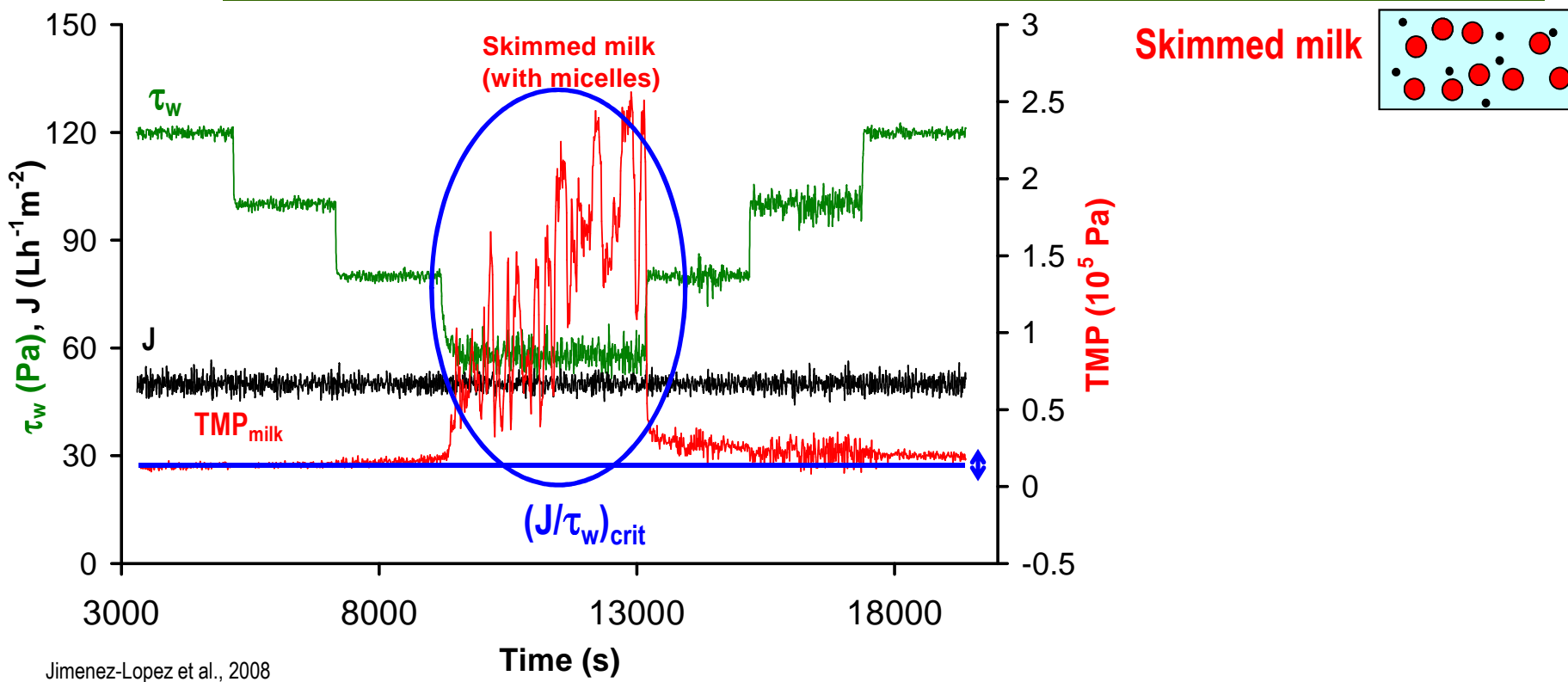


- Reversibility / irreversibility (Hysteresis; Darcy's law)
- Casein micelle and soluble protein transfer
- Mass balance : identification of soluble protein entrapped with accumulated matter

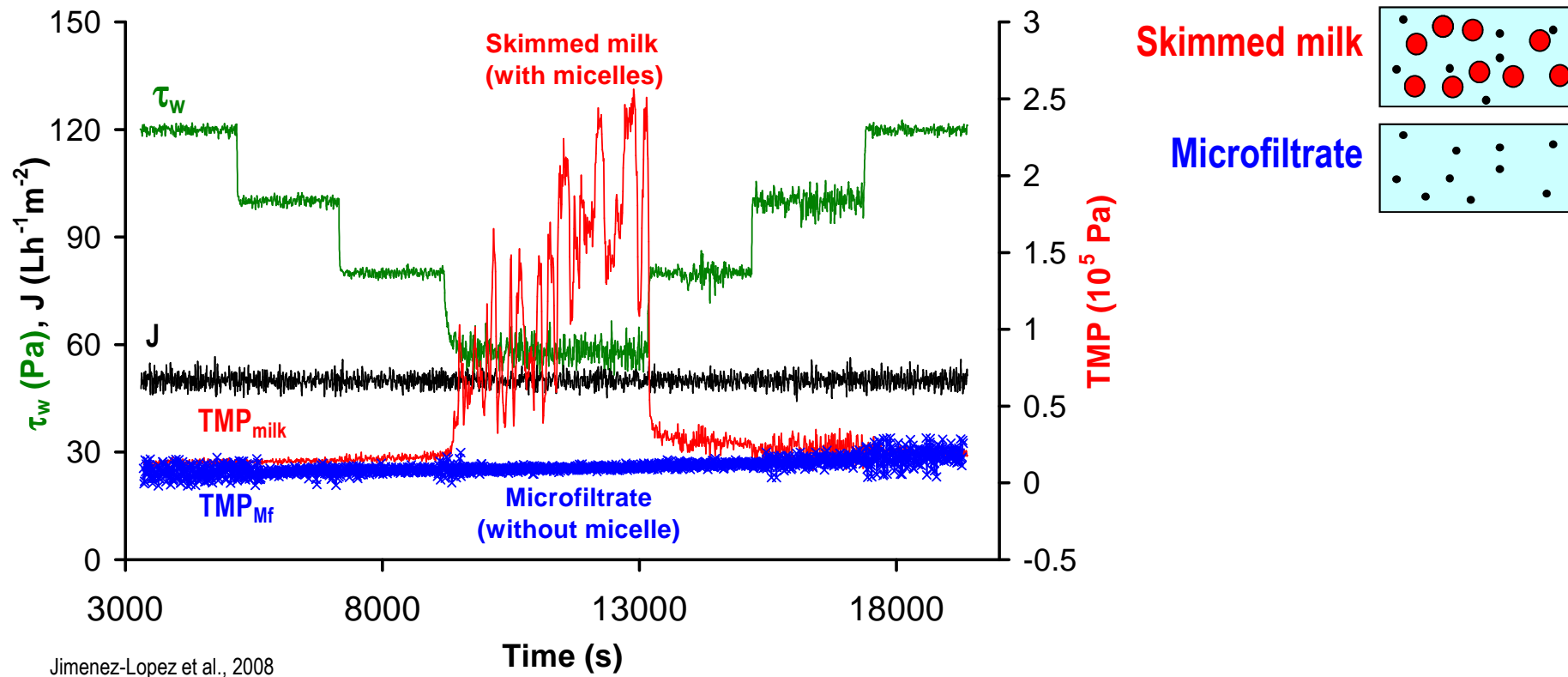
Operating conditions

$T = 48^{\circ}\text{C}$; $J = 50 \text{ L h}^{-1} \text{ m}^{-2}$; Volume Reduction Ratio = 2

Critical conditions $(J/\tau_w)_{\text{crit}}$ – main contributor



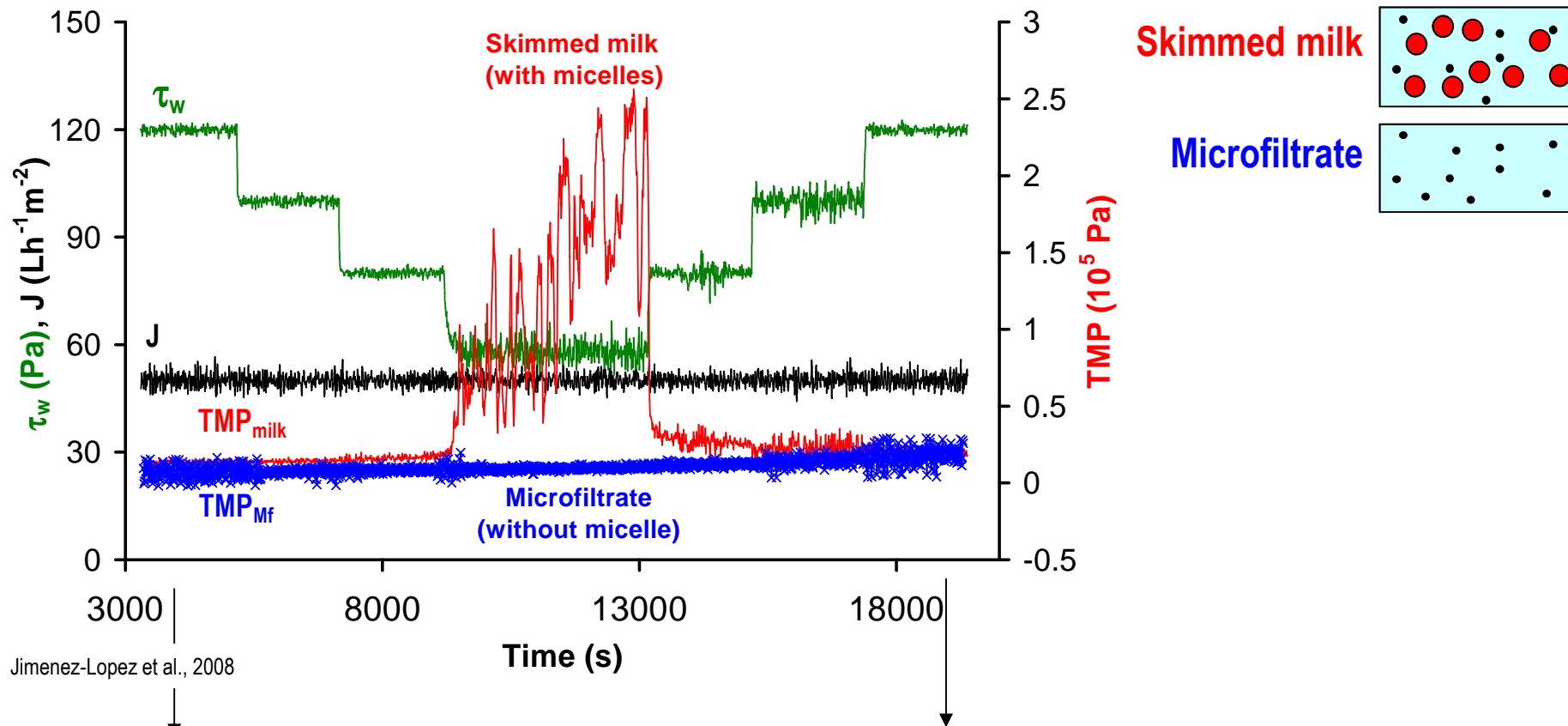
Critical conditions $(J/\tau_w)_{\text{crit}}$ – main contributor



Les micelles de caséines sont les composants responsables de l'apparition des conditions critiques

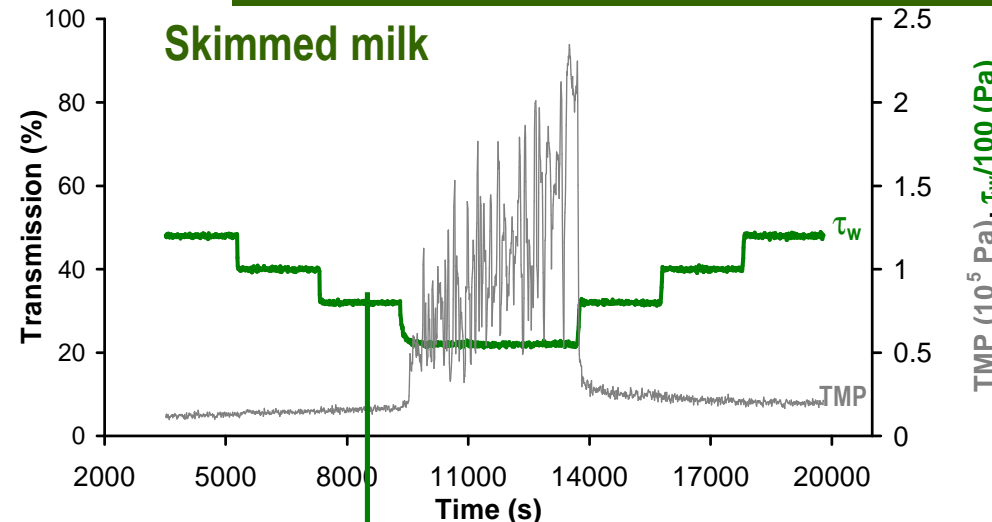
Aucun effet des protéines solubles sur l'apparition des conditions critiques
(comparaison performances : lait et lait sans protéines solubles)

Critical conditions $(J/\tau_w)_{\text{crit}}$ – main contributor



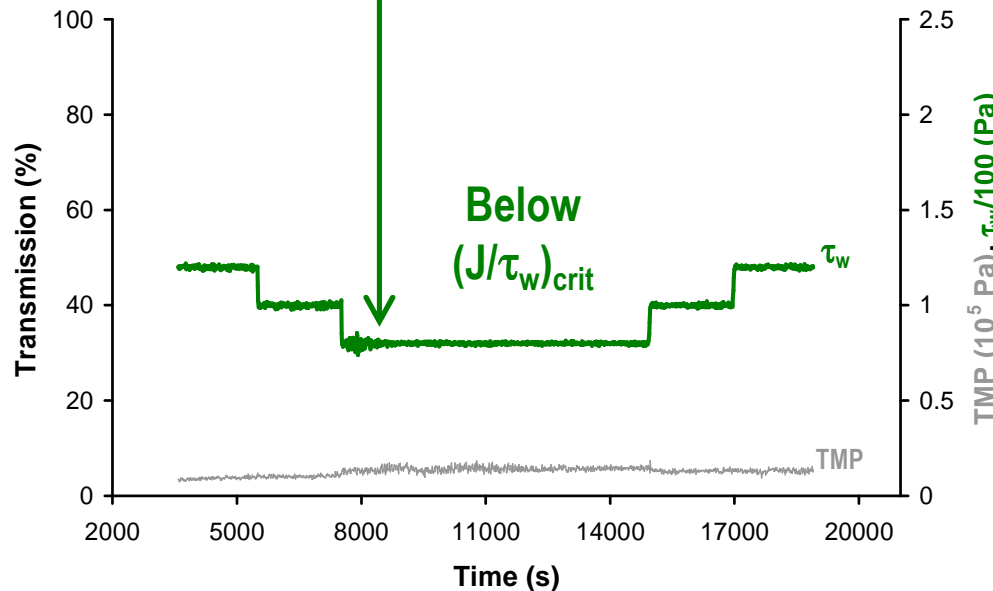
Dépôt des micelles de caséines à la surface de la membrane

Critical conditions $(J/\tau_w)_{\text{crit}}$ – main contributor



Passage au-delà des conditions critiques:

- ↗ TMP de 67 %
- $R_{if}/R_m = 5.8 \pm 0.9$
- (3 expérimentations)



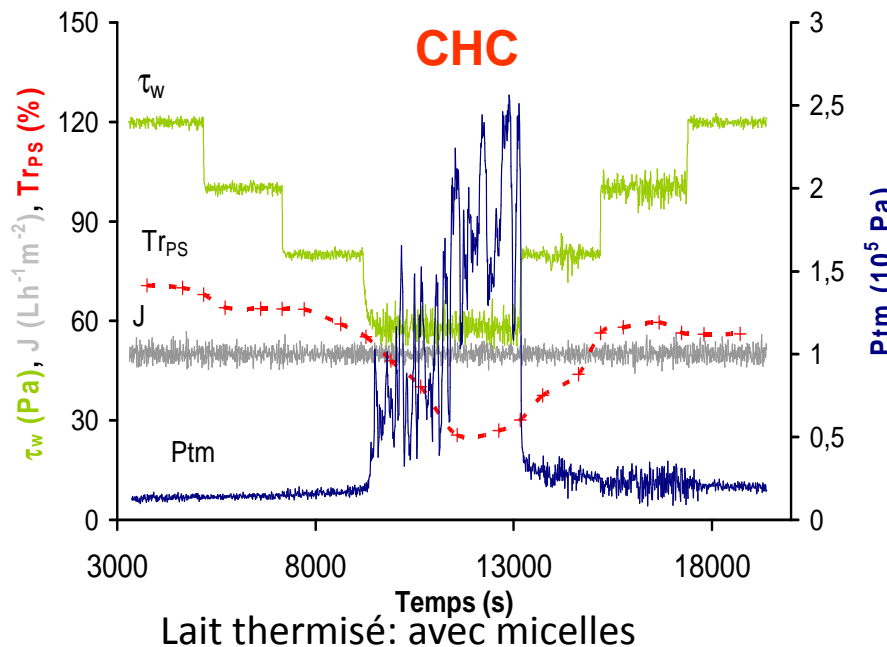
En dessous des conditions critiques:

- ↗ TMP de 27 %
- $R_{if}/R_m = 2.9 \pm 0.8$
- (3 expérimentations)



L'accumulation des micelles de caséines aux conditions critiques conduit à une augmentation du colmatage irréversible

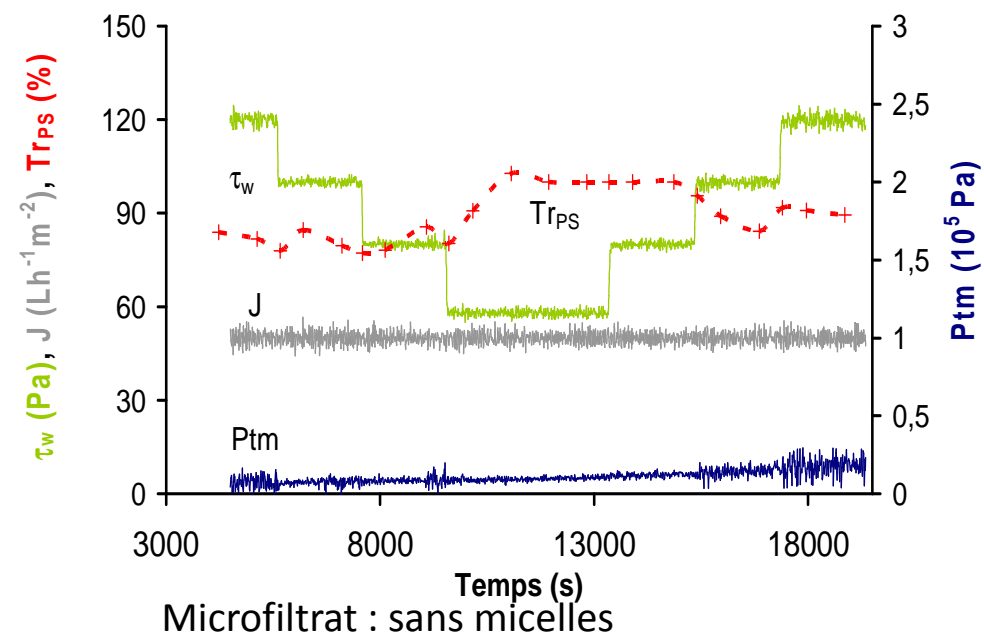
Critical conditions $(J/\tau_w)_{\text{crit}}$ – impact on protein transmission



CHC

Forte et brusque \uparrow Ptm

\downarrow Tr_{PS}



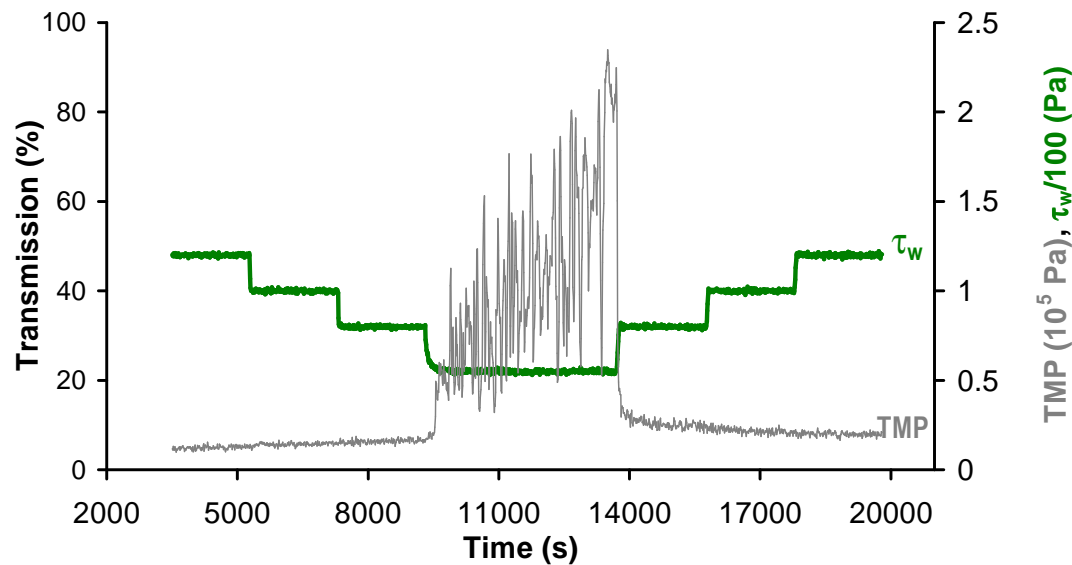
Pas de CHC

Pas de \uparrow Ptm

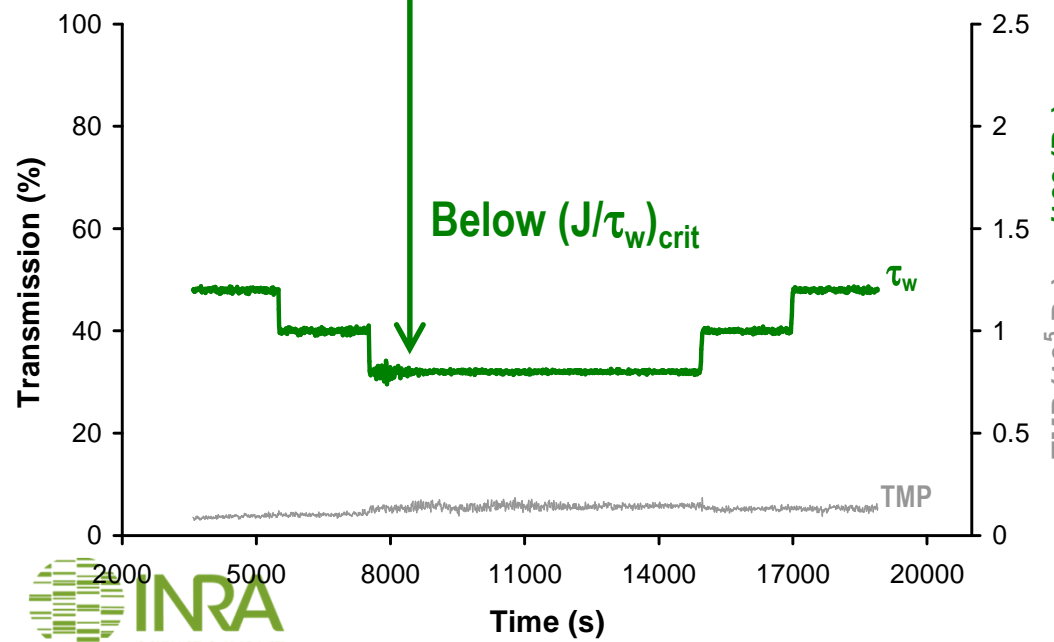
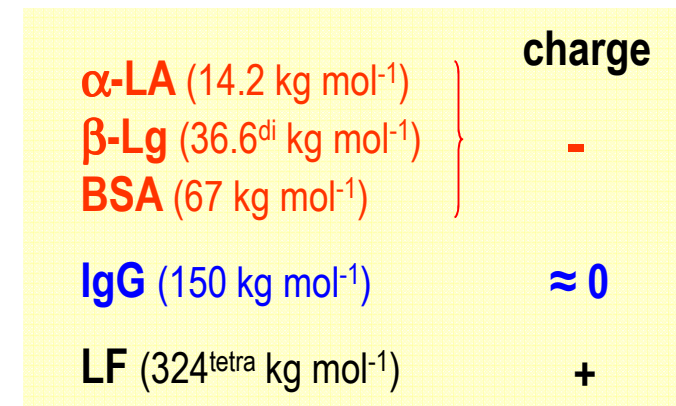
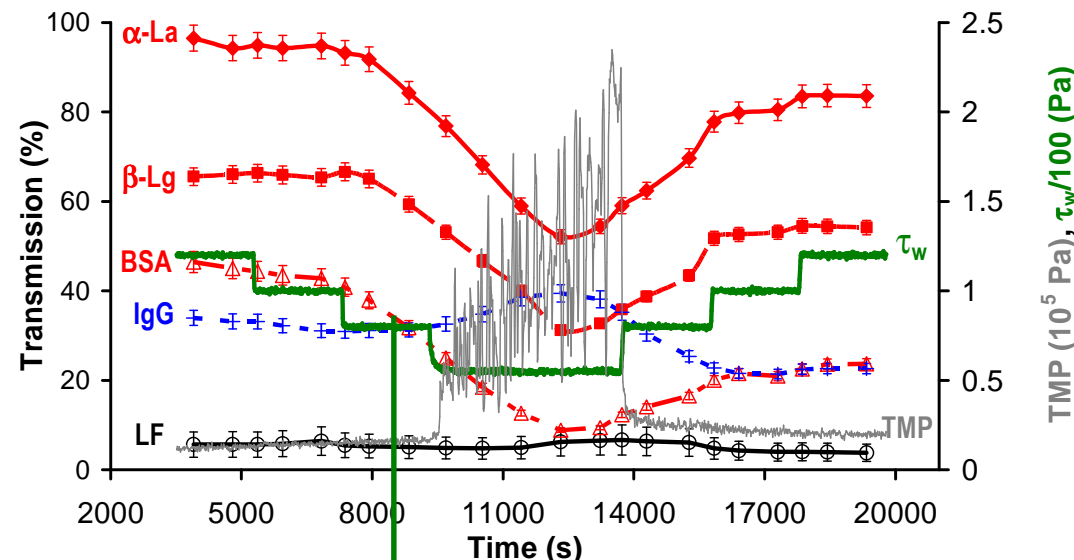
Tr_{PS} \uparrow , globalement stable

La présence de micelles de caséines affecte la transmission des protéines solubles

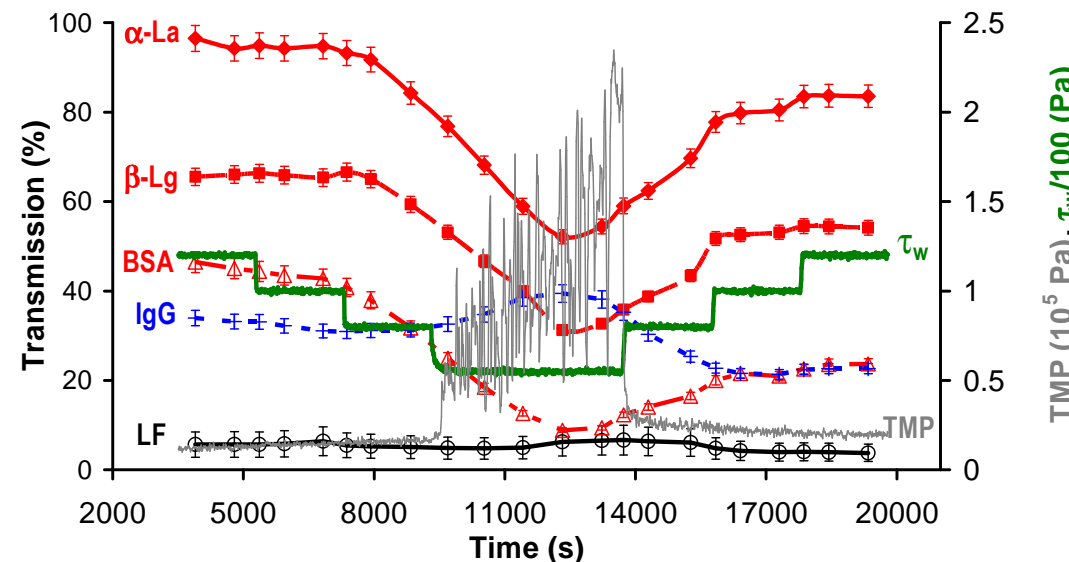
Critical conditions $(J/\tau_w)_{\text{crit}}$ – impact on protein transmission



Critical conditions $(J/\tau_w)_{\text{crit}}$ – impact on protein transmission



Critical conditions $(J/\tau_w)_{\text{crit}}$ – impact on protein transmission



$\alpha\text{-LA}$ (14.2 kg mol^{-1})
 $\beta\text{-Lg}$ ($36.6^{\text{di}} \text{ kg mol}^{-1}$)
 BSA (67 kg mol^{-1})

IgG (150 kg mol^{-1})

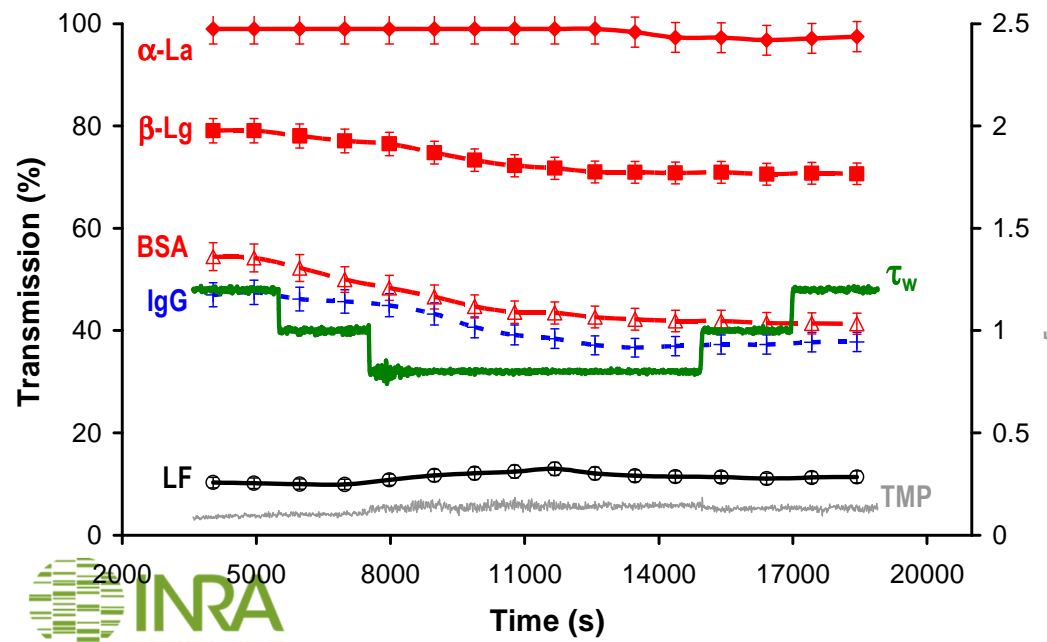
LF ($324^{\text{tetra}} \text{ kg mol}^{-1}$)

charge

-

≈ 0

+



Micelle deposit affects protein transmissions

Mécanismes

Exclusion stérique ? Interactions/ répulsions électrostatiques ?

Modèle de Ferry (1936)

$$Tr_{Ferry} = 1 - \left(1 - \left(1 - \frac{r_{solute}}{r_{pore}} \right)^2 \right)^2$$

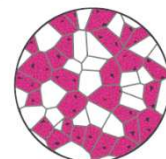
- Tr_{IgG} et $r_{SIgG} \rightarrow d_{app}$ (membrane + matière accumulée)
- $d_{app} \rightarrow Tr_F$ α -La, β -Lg, BSA, LF $\rightarrow (Tr_F - Tr)$

Diamètre apparent de la membrane

Diamètre apparent de l'ensemble (dépôt + membrane), (d_{app}), calculé selon la loi de Ferry en fonction des conditions hydrodynamiques de filtration et de la présence et absence de micelles

	d_{app} (nm)	
	Présence de micelles (lait)	Absence de micelles (microfiltrat)
Avant CHC ^a	9±1	13±1
Aux CHC ^b	9±1	15±1
Après CHC ^c	8±1	16±2

- $d_{app} \approx 9$ nm << 100 nm (diamètre pores mbre)
- $d_{app} \approx 9$ nm < 18 nm (diamètre vide micelles)
- Pas d'évolution d_{app} , \forall conditions hydrodynamiques



[Bouchoux et al., Biophys.J., 2010]

Adsorption PS + micelles dans pores + surface membrane → ↘ ↘ d_{app}
Dépôt ne modifie pas d_{app} : premières couches adsorbées = exclusion stérique cste

Evaluation de $(Tr_F - Tr)$ en présence de micelles

	Avant CHC	CHC	Après CHC
$(Tr_F - Tr)_{\alpha\text{-La}}$	-6±10	32±8	9±9
$(Tr_F - Tr)_{\beta\text{-Lgdim}}$	10±9	40±7	27±8
$(Tr_F - Tr)_{BSA}$	18±10	48±7	31±7
$(Tr_F - Tr)_{LF}$	42±10	44±10	30±8

1 Avant CHC, Tr_{LF} jamais modèle de Ferry (piégeage avec micelles)

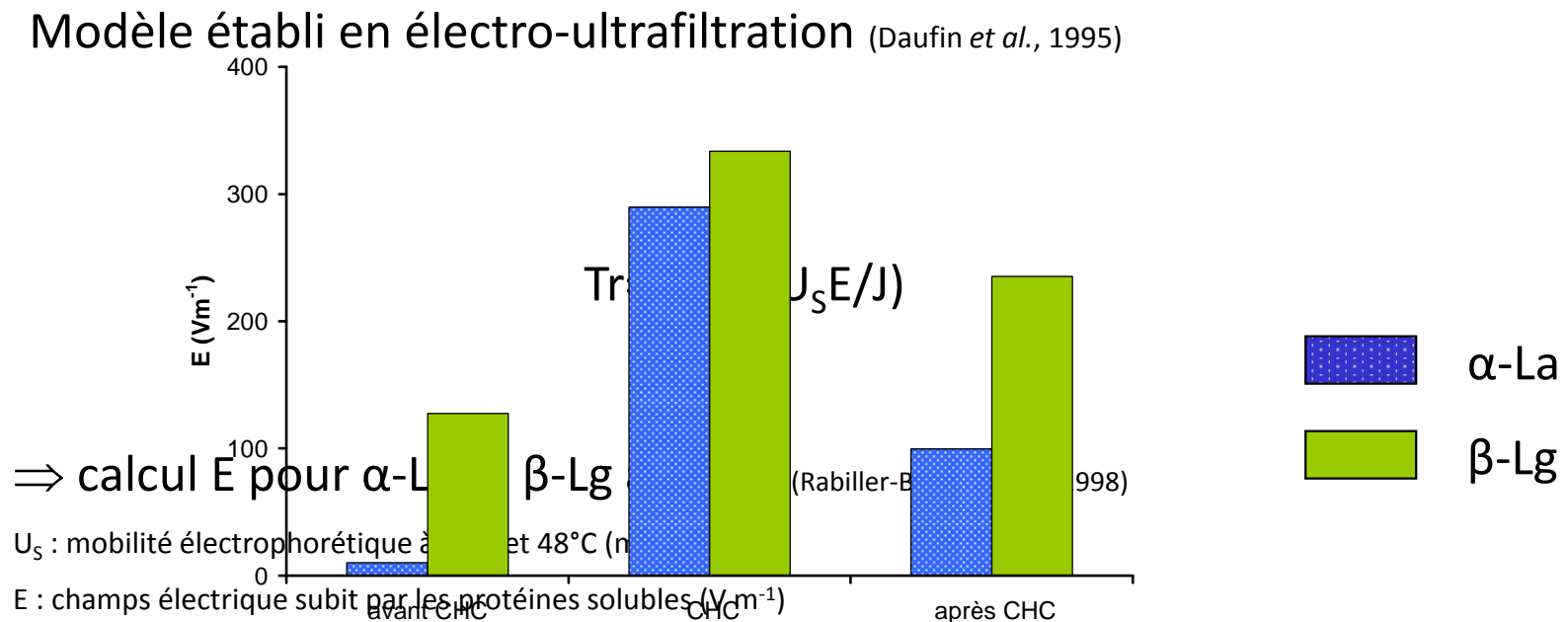
2 Avant CHC, $Tr_{PS} \approx$ accord avec Ferry

D'autres phénomènes que le simple effet stérique contrôlent le transfert des protéines

3 CHC/ après CHC : Dépôt micelles: ↘ ↘ $Tr_{\alpha\text{-La}}$, $Tr_{\beta\text{-Lg}}$ et Tr_{BSA}

Repulsions électrostatiques

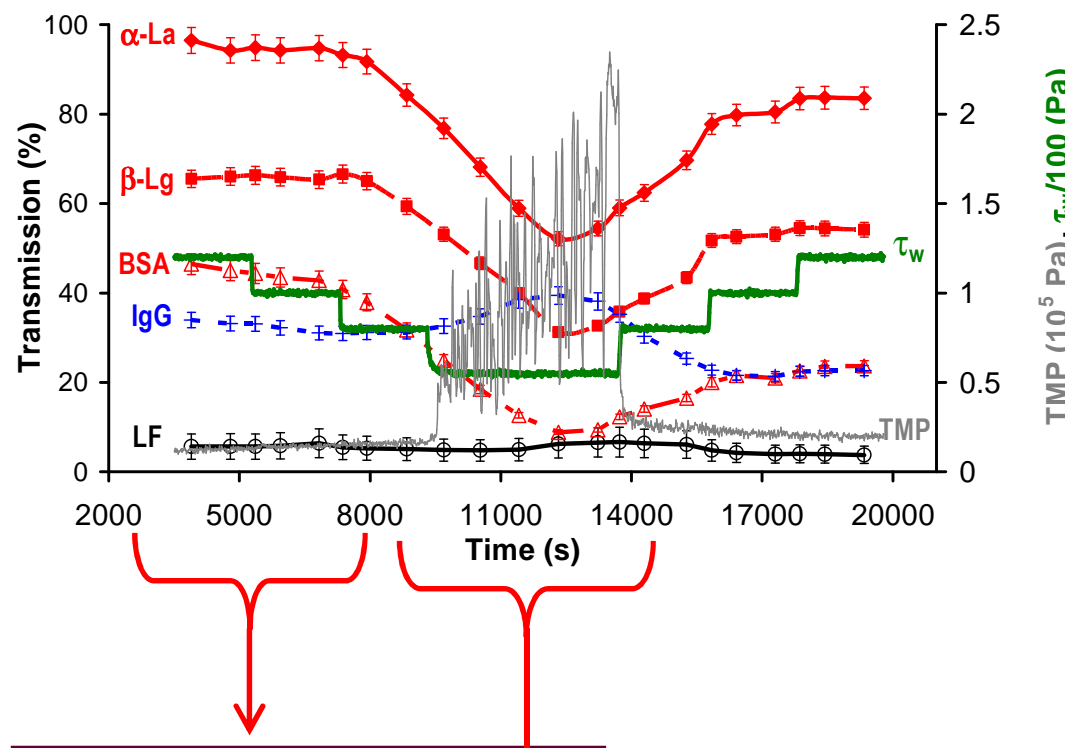
Répulsions électrostatiques micelles - $PS < 0$ (α -La, β -Lg et BSA) contrôlent le transfert



Aux CHC, fort E : \uparrow épaisseur et concentration des micelles dans couche de polarisation
⇒ \uparrow densité charge

Après CHC, dépôt résiduel ⇒ densité charge résiduelle ⇒ hysteresis Tr

Critical conditions $(J/\tau_w)_{\text{crit}}$ – impact on protein transmission

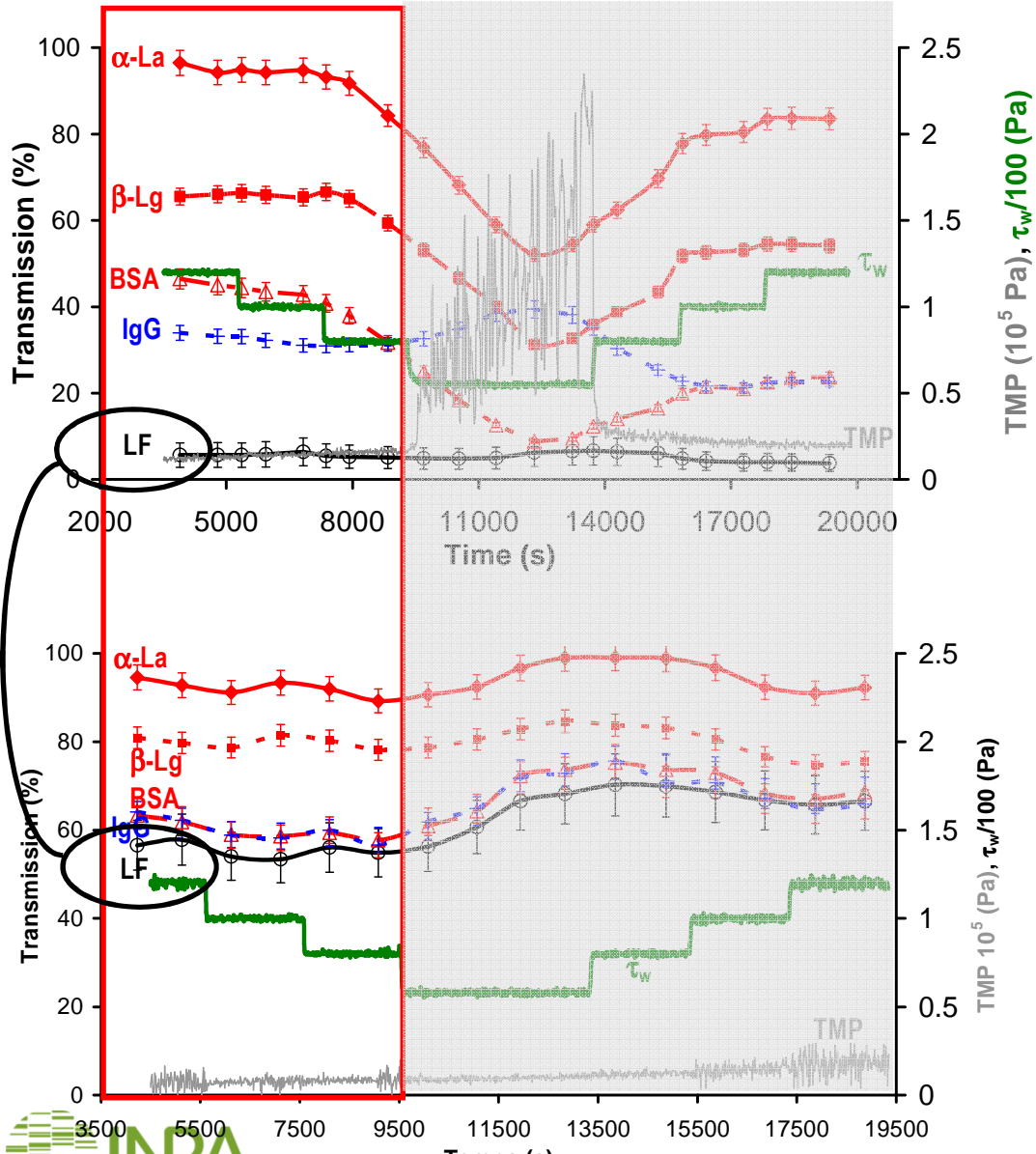


charge	
α -LA (14.2 kg mol $^{-1}$)	-
β -Lg (36.6 ^{di} kg mol $^{-1}$)	
BSA (67 kg mol $^{-1}$)	
IgG (150 kg mol $^{-1}$)	≈ 0
LF (324 ^{tetra} kg mol $^{-1}$)	+

Tr protein = steric repulsions
except for LF

Tr protein \neq steric repulsions
Proteins - electrostatic repulsions with micelles -
Protein ≈ 0 : polarization of concentration

Presence of casein micelles – impact on protein transmission



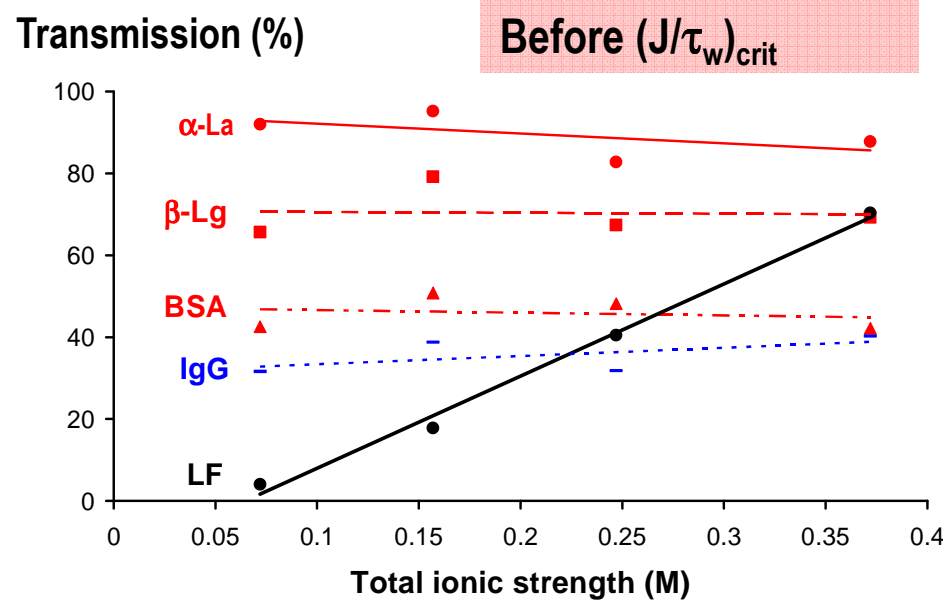
Skinned milk (with micelles)

-Transmission of LF much lower in the presence of casein micelles
(confirmed by mass balance)

Interactions LF (+) / micelles (-)

Microfiltrate (without micelles)

Impact of ionic strength - soluble protein transmission



With $\nearrow I$

$\nearrow Tr_{LF}$ due to \searrow attractive electrostatic interactions LF / micelles

Conclusions

- **Conclusions**
 - Accumulation de micelles : responsable des conditions critiques $(J/\tau_w)_{crit}$ et des modifications des performances (perméabilité, sélectivité)
 - Transmission des protéines solubles à travers le réseau de micelles : répulsions stériques + interactions électrostatiques
- **Perspectives**
 - Comportement et structure des dépôts des micelles (avec et sans protéines solubles)

Remerciements

**Financement Thèse A. Jimenez
Thèse Soredab**



Merci de votre attention !

